

А. С. Кочевенко, А. Р. Ферні

**Клонування та картування гена, що кодує нову
позамітохондріальну ізоформу амінотрансферази
культурного томата, задіяну в деградації амінокислот
з розгалуженим ланцюгом**

(Представлено академіком НАН України Ю. Ю. Глебою)

Ідентифіковано новий ген томата (BCAT7), що кодує нову ізоформу амінотрансфераз, задіяних у метаболізмі амінокислот з розгалуженим ланцюгом. Ген було картовано в геномному регіоні між маркерами TG71 і TG528 на хромосомі 1. Шляхом RACE-PCR встановлено повнорозмірну кодуючу нуклеотидну послідовність цього гена. Вивчено його експресію в різних типах тканин томата та визначено субклітинну локалізацію протейну, що ним кодується.

В рослинних та тваринних організмах амінокислоти з розгалуженим ланцюгом (BCAA) лейцин, валін та ізолейцин виконують важливі регуляторні та структурні функції [1, 2]. Однак за певних умов, як то порушення процесу деградації, високий рівень біосинтезу або швидкий кругообіг білків, концентрація BCAA та їх α -кетокислотних похідних може підвищуватися у рази та сягати токсичного рівня. Катаболізм BCAA є важливим механізмом детоксифікації клітин, він забезпечує підтримання запасу цих амінокислот на певному рівні, необхідному для біосинтезу білків.

Як було встановлено в багатьох дослідженнях, процес біосинтезу BCAA відбувається в хлоропластах [3, 4], тоді як щодо локалізації процесу деградації BCAA існують суперечливі повідомлення. Дослідження, проведені в декількох лабораторіях, переконливо показали, що цілий ряд ферментів, задіяних у деградації BCAA, локалізовано в мітохондріях; подальший аналіз їх ферментативної активності та субстратної специфічності довів, що мітохондрії дійсно здатні катаболізувати BCAA [5, 6]. З іншого боку, відомо, що альфа-кетокислоти, які формуються внаслідок реакції трансамінації BCAA, можуть бути катаболізовані в пероксисомах рослин до 2-метил-пропаноїл-КоА [7, 8]. Також було виявлено, що мутація гена *CHU1* у *Arabidopsis*, який кодує пероксисомальний фермент 3-гідроксиізобутирил-КоА гідролазу, призводить до порушення катаболізму валіну [9]. Таким чином, базуючись на сучасних літературних даних, цілком правомірно припустити, що у рослин можуть існувати обидва шляхи (мітохондріальний та пероксисомальний) катаболізму BCAA або проміжні продукти пероксисомального шляху можуть бути в подальшому метаболізовані в мітохондріях.

Амінотрансферази амінокислот з розгалуженим ланцюгом (BCATs) є ключовим класом ферментів, що задіяні не тільки в біосинтезі BCAA, але і в їх деградації. Оскільки накопичення BCAA у надмірних концентраціях є токсичним, то BCATs відіграють певну роль у детоксифікації клітин. У ході попередніх досліджень нами було клоновано і картовано понад 30 генів, що кодують ферменти, задіяні в метаболізмі амінокислот з розгалуженим ланцюгом в культурному томаті. Було також встановлено, що у *Solanum lycopersicum* BCATs кодуються невеликою родиною генів. Шість членів цієї родини ідентифіковано і локалізова-

но на хромосомній карті томата за допомогою методу поліморфізму довжини рестрикційних фрагментів [10]. Метою ж проведеного дослідження було клонування, картування та характеристика гена *BCAT7*, що кодує нову ізоформу амінотрансфераз амінокислот з розгалуженим ланцюгом у томата.

Клон cLEM-6-A9, що містив кДНК *BCAT7*, було ідентифіковано в загальнодоступній TIGR Tomato EST колекції. Для визначення нуклеотидної послідовності кДНК використовували автоматичний сиквенатор ABI PRISM® 310 (PE Applied Biosystems, Німеччина) та набір BigDye Terminator Cycle Sequencing Kit. За результатами сиквенс-аналізу встановлено, що кДНК вставка має розмір 607 п. н. і містить усічену кодуєчу послідовність гена *BCAT7*. Аналіз кластеру (SGN-U565 681) послідовностей, що відповідає гену *BCAT7* у базі даних SOL Genomics Network tomato EST database (<http://solgenomics.net/index.pl>; [11]), виявив, що відповідний кластер містить 24 гомологічних EST послідовностей, ізольованих в основному з насіння і незрілих зелених плодів.

Для встановлення повної кодуєчої послідовності використовували метод полімеразної ланцюгової реакції з швидкою ампліфікацією кінців кДНК (RACE-PCR). 5'- та 3'-RACE виконували за допомогою набору реактивів Gene Racer Kit ("Invitrogen", Німеччина) згідно з протоколом виробника, використовуючи таку комбінацію геноспецифічного і універсального праймерів: GeneRacer 5' і 5RaceReBCAT7, 3RaceFrBCAT7 і GeneRacer 3' (табл. 1). Ампліфіковані продукти було клоновано у вектор pCR4Blunt-TOPO і сиквенено. Визначена нуклеотидна послідовність кДНК *BCAT7* культурного томата містила кодуєчу послідовність розміром 1674 п. н. і 5'-3'- нетрансльовані регіони 79 п. н. і 82 п. н. тощо (рис. 1). Білок, що кодується геном *BCAT7*, складається з 557 амінокислотних залишків і виявляє 14–16% ідентичності до амінокислотної послідовності амінотрансфераз BCAT1 *Arabidopsis thaliana* і BCAT1 та BCAT2 *Solanum lycopersicum*, що задіяні в катаболізмі амінокислот з розгалуженим ланцюгом.

Для вивчення внутрішньоклітинної локалізації нової ізоформи нуклеотидну послідовність *BCAT7* без стоп-кодону було клоновано у вектор pK7FWG2, який сконструйовано для отримання GFP-мічених протеїнів [12]. Векторну конструкцію BCAT7-GFP було введено в мезофільні протопласти *N. tabacum* за допомогою методу ПЕГ-обумовленої трансформації [13]. За даними конфокальної мікроскопії, яку застосовували для візуалізації тимчасової експресії химерного протеїну BCAT7-GFP у протопластах тютюну, встановлено, що BCAT7-GFP не локалізовано ні в хлоропластах, ні в мітохондріях (рис. 2). Беручи до уваги форму і розмір субклітинних органел, в яких було виявлено сигнал флуоресценції, ми вважаємо, що найбільш вірогідним місцем локалізації BCAT7 протеїну є пероксисоми.

Таблиця 1. Праймери, які були використані в дослідженні

Назва праймеру	Нуклеотидна послідовність
GeneRacer 5'	CGACTGGAGCACGAGGACACTGA
5RaceReBCAT7	TAACCTGGTGGGGGTCTTCCTGATT
GeneRacer 3'	GCTGTCAACGATACGCTACGTAACG
3RaceFrBCAT7	TCGAGTGTATGGCGGAAAGGTATT
FrqRTUBI3	GGTTAAGCTCGCTGTGTTGCA
ReqRTUBI3	CGAAGCCTCTGAACCTTTCCA
FrqRTBCAT7	AGAGGTCATCTTTGGTGCAGGAG
ReqRTBCAT7	GTCAAACCTGGCACACGTTGTT
FrGFPBCAT7	CACCATGGGAGAAGAAATTGAAGTGATA
ReGFPBCAT7	GTGCCATACCAACTTATGAGAAGAGC

gaaaataacatttaggcgatacattcttgactctctcaaaactcacaaaaccaagttgtgca
attccttgagctcttgata**atg**gggagaagaattgaaagtgatcattcttggctcgcacc
M G E E I E V I H S W S A P
agggtccctaagcaccagcctcatgtactcttttgcccagagaaatgacatcgaagttctt
R S L S T S L M Y S F A Q R N D I E V L
gatgaaccactgtatgcaaatttttgcgagtcactggagtgatagaccttacaaggaa
D E P L Y A N F L R V T G V D R P Y K E
aaacttcgatccgaactggagaatgatggaataagggtggtgaaagaggtcatcttggg
K L R S E L E N D G N K V V K E V I F G
gcaggagtaaagaagtatcgctactgtaagcatatagccaacaacgtgtgccaggtttg
A G V K K Y R Y C K H I A K Q R V P G L
acaaatgaattgatgaaaagaggaaagcacttcatactgataaggaaatcccccttgatc
T N E L M K R G K H F I L I R N P L D I
ttgccatcctttgacaagattgtacctccatcatttcttgagctggggtggcagagctg
L P S F D K I V P P S F L E L G L A E L
gtctccgtatacagtgagttatctgaatcaggaagacccccaccagttatgatctggca
V S V Y S E L S E S G R P P P V I D A A
gatccttcgtgaaaatccccgagcgcacctgcgtggcctttgtgaagacctgacattcca
D L R E N P E A T L R G L C E D L D I P
tttcaagattcaatgctcagtgggagctggaccgaaaccatttgatggcatctgggca
F Q D S M L R W E A G P K P F D G I W A
ccatgttggtataaaagtgtgcataaatcaacaggttttgcctccagcaaaagaataccct
P W W Y K S V H K S T G F A P A K K Y P
acgccatttccacatcattgtatgatttggaggcaaaagcctaccctttacaacatg
T P F P T S L Y D L L E Q S L P F Y N M
cttaaacgtcatgctagacgatcttcttcaattacctgaactcaactttacctatcct
L K R H A R R S S S N Y L N S T L P H P
agtcttctgttctctgtaatgagaagctgcttgcatgggttggtgatgagatttgct
S L P V P A N E K L L A W V G D E I V P
cgtgagactgcaaggtttcagatattgattcaattgtccaaggtggcagtgaggtttgg
R E T A K V S V F D S I V Q G G D G V W
gaggaacttcgagtgatggcggaaggatattaagcttgaggagcatttagatagagtg
E G L R V Y G G K V F K L E E H L D R M
ttcgactctgcgaaagcactagctttcagcaatgtaccaactcgcgaagaggtcaaagaa
F D S A K A L A F S N V P T R E E V K E
gctatttccagactcttttaagaaatggaatggttgataatgcacatatccgactaac
A I F R T L L R N G M F D N A H I R L T
ttgacacgtgtgtaaaaggtaacctcaggaatgagccagcattcaatcgttatggatgt
L T R G K K V T S G M S P A F N R Y G C
acttttaagtctctgctgaatggaacctccagtatatgacaatgaaaagggttaatg
T L I V L A E W K P P V Y D N E K G L M
ttagtgcggaaccactcgtcgtatccacaaataatttgattcaaaagattcaccat
L V T A T T R R N S P N N L D S K I H H
aacaaccttcaacaacattcttgcaagatagaaggtaataatgctggggctgatgat
N N L L N N I L A K I E G N N A G A D D
gcaatcatgctcgataaagatggctatgtgtcagaactaatgctacaaatatattcttg
A I M L D K D G Y V S E T N A T N I F L
gtgaagaaggcgtgtggtgacacctcatgctgattattgccttctctggcataacaga
V K K G R V V T P H A D Y C L P G I T R
gcaacagtcagtgagcttgtgctgaaggaaagtttagcttttagaggagcgaagaattagc
A T V M E L V L K E S L A L E E R R I S
ttatcagaatttcacactcgtgatgaggtgtggacaacaggaactatgggggagctgagc
L S E F H T A D E V W T T G T M G E L S
ccggttgcaaaatgatggacgtatagttggtgatggctcagtaggacctataactctg
P V V K I D G R I V G D G R V G P I T L
agattgcaaaatgcttacaagaatctctcaaaagattcaggagtgccataccaacttat
R L Q N A Y K N L S K D S G V P I P T Y
gagaagagc**taaa**tacgtagtttccaggtgatcaaaaacacagagctggagaagggtg
E K S -
ttcttctatctagacaaaaaaaaaaaaaaaaaaaa

Рис. 1. Нуклеотидна послідовність κДНК *BCAT7* та виведена амінокислотна послідовність культурного томата *S. lycopersicum*

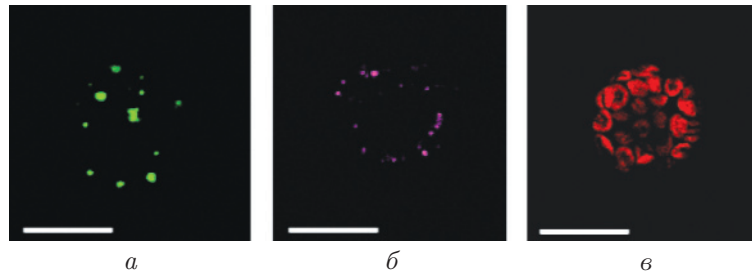


Рис. 2. Експресія химерного протеїну *BCAT7*-GFP у мезофільних протопластах тютюну. Флуоресцентні маркери: *a* — зелений флуоресцентний протеїн GFP; *б* — барвник MitoTracker; *в* — автофлуоресценція хлорофілу, GFPi MitoTracker. Масштаб — 19 мкм

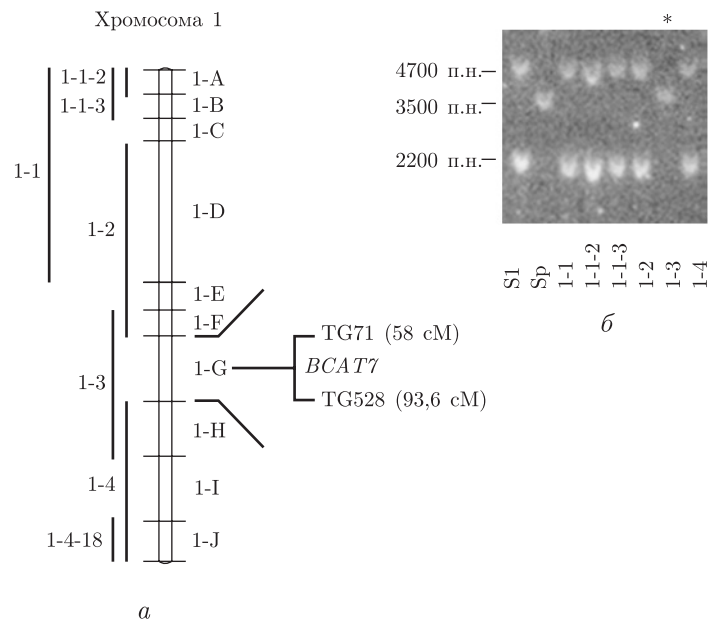


Рис. 3. Встановлення локалізації гена *BCAT7* на хромосомній карті культурного томата. *a* — локалізація на хромосомній карті; *б* — результати блотингу за Саузерном; I1-1 – I1-4 інтрогресивні лінії томата; Sl — *S. lycopersicum*; Sp — *S. pennellii*. Зірочкою відмічено лінію, що успадкувала даний ген від дикого виду *S. pennellii*

Виявлення факту екстрамітохондріальної локалізації нової ізоформи ВСАТ, ключового ферменту, задіяного в процесі деградації ВСАА, свідчить на користь існування додаткового шляху катаболізму амінокислот з розгалуженим ланцюгом або деяких його етапів у пероксисомах, як було запропоновано раніше [7, 9, 14].

Для подальшого з'ясування функціональної ролі гена *BCAT7* у різних типах тканин томата було проведено аналіз профілю його експресії. Рівень експресії в листках, суцвіттях, зелених (10 д. п. а.) та червоних (40 д. п. а.) плодах томата вивчали за допомогою методу qRT-PCR. Специфічні пари праймерів для генів *BCAT7* та убіквітину (*UBI3*), який використовували як внутрішній ампліфікаційний стандарт, були синтезовані за допомогою програми Primer Express (див. табл. 1). Виділення сумарної РНК, синтез одноланцюгової кДНК та RT-PCR аналіз проводили відповідно до раніше опублікованого протоколу [15]. Згідно з отриманими результатами, всі проаналізовані типи тканин мали відносно високий рівень експресії гена *BCAT7*. Однак кількість транскрипту *BCAT7* у незрілих плодах була нижчою, ніж у суцвіттях, листках і червоних стиглих плодах томата (табл. 2).

Ген *BCAT7* було картовано шляхом аналізу поліморфізму довжини рестрикційних фрагментів у популяції інтрогресивних ліній томата, отриманих від схрещування культурного томата *S. lycopersicum* (сорту М82) з його диким родичем *S. pennellii* (LA 716), як детально описано раніше [9]. Сумарну ДНК гідролізували ендонуклеазою *DraI* і гібридизували з фрагментом кДНК *BCAT7*, що був виділений із клону cLEM-6-A9 як продукт рестрикції ферментами *EcoRI* і *XhoI*. ДНК треки, що відповідали *S. lycopersicum* сорту М82 або інтрогресивним лініям, які містили *BCAT7* алель культурного томата, характеризувалися наявністю двох гібридизаційних смуг величиною 4,7 і 2,2 т. п. н., тоді як для ліній, що мали *S. pennellii* алель, була характерна наявність однієї гібридизаційної смуги розміром 3,5 т. п. н. За результатами Саузерн-блот-гібридизації встановлено, що ген *BCAT7* знаходиться на хромосомі 1 між маркерами TG71 і TG528 (рис. 3).

Порівняння даних локалізації гена *BCAT7* і кількісних метаболічних локусів (QTLs), що контролюють вміст ВСАА [9], свідчить про те, що *BCAT7* за нормальних умов не впливає істотно на кількість амінокислот з розгалуженим ланцюгом у зрілих плодах томата. Це може бути обумовлено, наприклад, існуванням додаткового механізму на білковому рівні, який контролює ензиматичну активність протеїну ВСАТ7. Крім того, це, можливо, пов'язано з надлишком вуглеводів, який існує у тканинах плодів томата і може запобігати використанню ВСАА як альтернативного джерела дихальних субстратів.

Таким чином, отримані результати свідчать про наявність у геномі томата гена *BCAT7*, що кодує нову ізоформу амінотрансфераз, задіяних у метаболізмі амінокислот з розгалуженим ланцюгом томата. Наведені дані щодо структури, хромосомної локалізації та специфічності експресії гена *BCAT7*. Виявлення позахлоропластної та позамітохондріальної субклітинної локалізації цього ферменту вказує на складну організацію процесу деградації ВСАА, який потребує узгодженої взаємодії трьох різних клітинних компартментів.

Таблиця 2. Органоспецифічна експресія гена *BCAT7*

Тип тканини томата	Рівень експресії <i>BCAT7</i> , qRT-PCR (40-ΔCt)
Суцвіття	36,85 ± 0,08
Листя	35,48 ± 0,14
Зелені плоди	34,04 ± 0,07
Червоні плоди	35,46 ± 0,09

1. *Yoshizawa F.* Regulation of protein synthesis by branched-chain amino acids in vivo // *Biochem. Biophys. Research Com.* – 2004. – **313**. – P. 417–422.
2. *Binder S.* Branched-Chain Amino Acid Metabolism in *Arabidopsis thaliana* // *The Arabidopsis Book*. – 2010. – **8**. – doi:10.1199/tab.0137.
3. *Singhl B. K., Shaner D. L.* Biosynthesis of branched chain amino acids: from test tube to field // *Plant Cell*. – 1995. – **7**. – P. 935–944.
4. *Hagelstein P., Sieve B., Klein M. et al.* Leucine synthesis in chloroplasts: Leucine/isoleucine aminotransferase and valine aminotransferase are different enzymes in spinach chloroplasts // *J. Plant Physiol.* – 1997. – **150**. – P. 23–30.
5. *Anderson M. D., Che P., Song J. et al.* 3-Methylcrotonyl-coenzyme A carboxylase is a component of the mitochondrial leucine catabolic pathway in plants // *Plant Physiol.* – 1998. – **118**. – P. 1127–1138.
6. *Schuster J., Binder S.* The mitochondrial branched-chain aminotransferase (AtBCAT-1) is capable to initiate degradation of leucine, isoleucine and valine in almost all tissues in *Arabidopsis thaliana* // *Plant. Mol. Biol.* – 2005. – **57**. – P. 241–254.
7. *Gerbling H., Gerhardt B.* Peroxisomal Degradation of branched-chain 2-oxo acids // *Plant. Physiol.* – 1989. – **91**. – P. 1387–1392.
8. *Reumann S., Ma C., Lemke S., Babujee L.* AraPeroX. A Database of Putative *Arabidopsis* Proteins from Plant Peroxisomes // *Ibid.* – 2004. – **136**. – P. 2587–2608.
9. *Lange P. R., Eastmond P. J., Madagan K., Graham I. A.* An *Arabidopsis* mutant disrupted in valine catabolism is also compromised in peroxisomal fatty acid beta-oxidation // *FEBS Lett.* – 2004. – **571**. – P. 147–153.
10. *Кочевенко А. С., Ферні А. Р.* Картування генів томата, задіяних у метаболізмі амінокислот з розгалуженим ланцюгом // *Доп. НАН України*. – 2011. – № 7. – С. 156–160.
11. *Mueller L. A., Solow T. H., Taylor N. et al.* The SOL Genomics Network: a comparative resource for Solanaceae biology and beyond // *Plant Physiol.* – 2005. – **138**. – P. 1310–1317.
12. *Karimi M., Inze D., Depicker A.* GATEWAYTM vectors for *Agrobacterium*-mediated plant transformation // *Trends Plant Sci.* – 2002. – **7**. – P. 193–195.
13. *Paszowski J., Shillito R. D., Saul M. et al.* Direct gene transfer to plants // *EMBO J.* – 1984. – **3**. – P. 2717–2722.
14. *Gerbling H., Gerhardt B.* Oxidative decarboxylation of branched-chain 2-oxo fatty acids by higher plant peroxisomes // *Plant Physiol.* – 1988. – **88**. – P. 13–15.
15. *Кочевенко А. С., Ферні А. Р.* Характеристика гена *IPMD-SSU1 Lycopersicon esculentum* та його роль у біосинтезі лейцину // *Доп. НАН України*. – 2011. – № 9. – С. 153–158.

Інститут клітинної біології та генетичної інженерії НАН України, Київ
Макс-Планк-Інститут молекулярної фізіології рослин, Гольм, Німеччина

Надійшло до редакції 20.01.2012

А. С. Кочевенко, А. Р. Ферні

Клонирование и картирование гена, кодирующего новую немитохондриальную изоформу аминотрансферазы культурного томата, задействованную в деградации аминокислот с разветвленной цепью

Идентифицирован новый ген томата (BCAT7), кодирующий новую изоформу аминотрансфераз, задействованных в метаболизме аминокислот с разветвленной цепью. Ген был картирован в геномном регионе между маркерами TG71 и TG528 на хромосоме 1. Полноразмерная кодирующая нуклеотидная последовательность данного гена установлена с помощью RACE-PCR. Изучена экспрессия гена в разных типах тканей томата и определена субклеточная локализация кодируемого им протеина.

A. S. Kochevenko, A. R. Fernie

Cloning and mapping of the gene encoding a new extramitochondrial aminotransferase isoform of cultivated tomato which is involved in the degradation of branched chain amino acids

New tomato gene BCAT7 encoding a new branched chain amino acid aminotransferase isoform is identified. The gene is mapped on chromosome 1 between markers TG71 and TG528. Full-length CDS of the gene was determined by RACE-PCR. Gene expression and subcellular localization of the encoded protein are characterized.